

A propos de la conjecture de Nash

Camille Plénat

13 novembre 2018

Résumé

Cet article a pour objet le problème des arcs de Nash, selon lequel il y aurait autant de familles d'arcs sur un germe de surface singulier U que de composantes essentielles d'une désingularisation de cette singularité. Soit $\mathcal{H} = \bigcup \overline{N_\alpha}$ une décomposition particulière de l'espace des arcs, décrite plus avant. On propose deux nouvelles conditions suffisantes permettant d'affirmer que $\overline{N_\alpha} \not\subset \overline{N_\beta}$, $\alpha \neq \beta$; plus précisément, pour la première, on montre que, s'il existe une fonction f dans l'anneau local de U telle que $\text{ord}_{E_\alpha}(f) < \text{ord}_{E_\beta}(f)$, où E_α, E_β sont des diviseurs issus de la désingularisation minimale, alors $\overline{N_\alpha} \not\subset \overline{N_\beta}$. La deuxième condition, utilisée dans le cadre d'une singularité rationnelle de surface, est la suivante : soit (S, s) et (S', s') deux singularités rationnelles de surface telles qu'il existe un morphisme dominant et birationnel π de (S, s) sur (S', s') ; alors, soient E_α, E_β deux diviseurs issus de la désingularisation minimale de (S, s) tels que leurs images par π , E'_α et E'_β , sont des diviseurs exceptionnels pour (S', s') ; si $\overline{N'_\alpha}(S', s') \not\subset \overline{N'_\beta}(S', s')$ alors $\overline{N_\alpha}(S, s) \not\subset \overline{N_\beta}(S, s)$. Ces conditions, certes très simples, nous permettent de prouver assez directement la conjecture pour les singularités rationnelles minimales de surface (en utilisant conjointement la décomposition des singularités rationnelles minimales de surface en singularités à quotient cyclique de type A_n). Une preuve de la conjecture pour ces singularités a déjà été donnée par Ana Reguera dans [REG].

Introduction

L'objet de ce texte est d'énoncer deux nouvelles conditions suffisantes pour pouvoir affirmer que les adhérences de deux familles d'arcs sur une singularité associées à deux diviseurs exceptionnels d'une désingularisation ne sont pas incluses l'une dans l'autre. Pour les singularités rationnelles de surface, la première condition que je vais énoncer est équivalente à celle donnée par Ana Reguera dans [REG]. Comme applications directes, nous allons tout d'abord définir une relation binaire sur les diviseurs exceptionnels (qui sera un ordre partiel pour les singularités rationnelles) et donc identifier les familles "à problèmes", puis nous allons donner une preuve très

simple qu'une réponse affirmative peut être donnée au problème de Nash pour les singularités minimales de surface, résultat déjà acquis par Ana Reguera (cf **REG**) : dans un premier temps nous démontrons la conjecture pour les singularités quotient cyclique de type A_n en appliquant la première condition, puis nous recourons à la décomposition des singularités minimales en singularités quotient cyclique de type A_n (cf. **[SPI 1]**) ainsi qu'à la deuxième condition, afin de prouver la conjecture pour ces singularités.

Remarque : la décomposition des singularités minimales de surface en singularités quotient cyclique de type A_n est un cas particulier de la décomposition des singularités sandwiches en singularités primitives. Cette nouvelle démonstration de la conjecture pour les singularités minimales nous donne un espoir de prouver un jour la conjecture pour les singularités sandwiches, sous réserve de la prouver pour les primitives.

Je tiens à remercier ici mon directeur de thèse, Mark Spivakovsky, qui m'a constamment guidée dans l'élaboration de cet article (et mes camarades du laboratoire Emile Picard dont l'aide a été précieuse pour sa mise en forme).

1 Rappels et définitions

Dans cette section on rappellera les définitions ayant trait à la conjecture de Nash ainsi que la conjecture elle-même.

1.1 La conjecture de Nash

Cette conjecture concerne la famille des courbes formelles passant par une singularité et les composantes exceptionnelles d'une désingularisation de cette singularité. La conjecture a été énoncée en toute généralité, bien que nous ne l'énoncerons ici que pour les singularités de surfaces.

Avant d'énoncer la conjecture, rappelons quelques définitions :

Définition 1. Arc

Un arc sur un germe U est une courbe formelle paramétrisée, i.e. un k -morphisme $\phi : (\text{spec } k[[t]], 0) \longrightarrow (S, U)$, ou, de manière équivalente, un k -morphisme $\mathcal{O}_U \longrightarrow k[[t]]$.

Soit (S, s) une singularité isolée de surface.

Définition 2. On définit l'image d'un arc ϕ comme étant $Z(\phi) = sC$ où C est le diviseur de Weil défini par $\phi(\text{spec } k[[t]])$, et si \overline{C} est la normalisation de C , alors s est l'indice de ramification du morphisme $(\text{spec } k[[t]], 0) \rightarrow (\overline{C}, P)$.

Définition 3. Soit \mathcal{H} l'ensemble des arcs du germe singulier U . C'est une variété algébrique de dimension infinie.

Quels sont les ouverts sur \mathcal{H} ? Ils sont définis par un nombre fini d'inéquations sur un nombre fini de coefficients des séries entières formelles définissant les arcs.

(cf.infra section 2.1 pour un calcul explicite de \mathcal{H} pour les singularités A_n).

Soit de nouveau (S, s) une singularité. Soient $(X_0, \{E_\alpha\}_{(\alpha)}) \rightarrow (S, s)$ une désingularisation de la singularité (S, s) , et $\{E_\alpha\}_{(\alpha)}$ l'ensemble des composantes exceptionnelles associées à la désingularisation.

La conjecture de Nash consiste à comparer les composantes irréductibles de \mathcal{H} et les composantes $\{E_\alpha\}_{(\alpha)}$; plus exactement, dans le cas des surfaces :

Conjecture 1. (Nash)

Il y a autant de courbes exceptionnelles dans la désingularisation minimale d'une singularité de surface (S, s) que de composantes irréductibles de \mathcal{H} .

Ces composantes irréductibles sont aussi appelées familles d'arcs de Nash. En associant à chaque famille d'arcs un diviseur exceptionnel, Nash, dans [NASH], a montré que le nombre de familles est majorée par le nombre de composantes exceptionnelles.

Considérons la décomposition de \mathcal{H} suivante :

soit N_α la famille d'arcs tels que leur transformée stricte est transverse à E_α et n'intersecte pas les autres composantes exceptionnelles ; ces familles sont des ensembles irréductibles de \mathcal{H} et $\mathcal{H} = \bigcup \overline{N_\alpha}$; remarquons qu'il y a déjà dans cette décomposition autant de familles que de diviseurs, il nous suffit donc de prouver que pour tout α, γ , on a $\overline{N_\alpha} \not\subset \overline{N_\gamma}$.

Pour de plus amples explications, voir l'article d'Ana Reguera [REG].

1.2 Quelques rappels sur les singularités

Pour plus de cohérence, on rappellera dans ce paragraphe les définitions des singularités primitives, minimales, quotient cyclique de type A_n , sandwiches, et la décomposition de ces dernières en joint birationnel ; pour une théorie plus complète

ainsi que pour toutes les définitions, on renvoie le lecteur aux articles de Mark Spivakovsky (cf.[SPI 1, première partie] et [SPI 2]). De plus on ne donne les définitions qu'en "fonction" des graphes car les démonstrations sont essentiellement basées sur la nature de ces graphes.

Rappel : quand on désingularise une singularité rationnelle normale de surface, des courbes exceptionnelles apparaissent et forment un graphe connexe sans cycle. Mais on n'étudie pas ces graphes là, on préfère regarder les graphes duaux, c'est-à-dire ceux qui associent à chaque point une courbe exceptionnelle, chaque arête représentant alors l'intersection entre deux courbes. Les poids que l'on associera à une courbe sont moins le nombre d'autointersection de cette courbe avec elle-même. (voir fig.1)

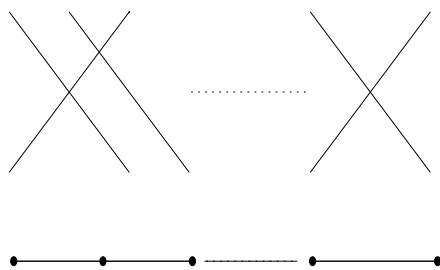


Fig. 1 – exemple : en haut, graphe avec les composantes ; en dessous, graphe dual associé (singularité de type A_n)

Remarque : comme on ne va considérer que les désingularisations minimales, les poids seront supérieurs ou égaux à 2 (sauf pour les graphes non singuliers, i.e. issus de la désingularisation d'un point non singulier).

Définition 4. Graphe sandwich

Un graphe est dit sandwich s'il existe un graphe non singulier le contenant comme sous-graphe pondéré ; une singularité sera dite sandwich si son graphe dual de résolution est sandwich.

Définition 5. Graphe primitif

Un graphe Γ connexe est dit primitif s'il existe un graphe non singulier Γ^ tel que $\Gamma \subset \Gamma^*$ et $\#(\Gamma^* \setminus \Gamma) = 1$.*

Une singularité sera dite primitive si son graphe dual de résolution est primitif.

Définition 6. Graphe minimal

Un graphe pondéré est dit minimal si pour tout x sommet du graphe $\omega(x) \geq \gamma(x)$, où $\omega(x)$ est le poids en x et $\gamma(x)$ est le nombre d'arêtes attachées à x .

Une singularité est dite minimale si son graphe dual de résolution est minimal, en d'autres termes la singularité est minimale si dans sa désingularisation minimale toutes les courbes exceptionnelles sont rationnelles, s'intersectent transversalement et le graphe dual est simplement connexe et minimal.

Remarque : cela équivaut à dire que la singularité est rationnelle et que son cycle fondamental est réduit.

Définition 7. Singularité quotient cyclique de type A_n

Par A_n on désigne les singularités quotient cyclique dont les poids à chaque sommet du graphe dual valent 2. Ce sont des singularités de surface d'équations $(z^{n+1} = xy)$; leur graphe dual de résolution est :



Fig. 2 – graphe dual d'une singularité de type A_n

On appellera ce genre de graphe un graphe “en bambou”.

Définition 8. Joint birationnel

Soit Z_1, Z_2 deux variétés algébriques irréductibles et réduites avec le même corps de fonction K . Soit $\phi : Z_1 \leftrightarrow Z_2$ la correspondance birationnelle entre ces deux variétés. Alors il existe deux ouverts U_1 et U_2 tels que ϕ induit un isomorphisme entre U_1 et U_2 . Soit U l'image de U_1 dans $U_1 \times U_2$ par le morphisme diagonal où on identifie U_1 avec U_2 par ϕ . Alors le joint birationnel Z de Z_1 avec Z_2 est défini comme étant la fermeture de U dans $Z_1 \times Z_2$.

Les singularités minimales sont sandwiches, les quotients cycliques de type A_n sont des primitives, lesquelles sont elles-mêmes sandwiches. On peut regarder les singularités sandwiches (resp. minimales) comme le joint birationnel de singularités primitives (resp. à quotient cyclique de type A_n).

Remarque : Dans les faits on regardera les décompositions en joint birationnel des singularités sandwiches en singularités primitives et des minimales en “ A_n ” au

niveau des graphes. Nous verrons dans la preuve de la conjecture pour les singularités minimales comment dans la pratique on peut décomposer les graphes des minimales en graphe de singularités A_n .

Lemme 2. *Les singularités A_n sont des singularités sandwichs.*

Démonstration. Le graphe de la singularité A_n est contenu dans un graphe non singulier, comme le montre la figure ci-dessous : (le signe $<$ veut dire ici “est contenu dans”)

$$\begin{array}{ccccccccc} 2 & & 2 & & 2 & & 2 & & 2 \\ \cdot & \text{---} & \cdot & \text{---} & \cdot & \text{---} & \cdot & \text{---} & \cdot \end{array} < \begin{array}{ccccccccc} 2 & & 2 & & 2 & & 2 & & 2 & & 1 \\ \cdot & \text{---} & \cdot \end{array}$$

Donc par définition d’une singularité sandwich, une singularité de type A_n est une singularité sandwich. □

2 Première condition suffisante et résolution de la conjecture pour les singularités de type A_n

Dans un premier temps, nous énoncerons une condition suffisante annoncée pour que $\overline{N}_i(S) \not\subset \overline{N}_j(S)$ pour une singularité quelconque, puis on appliquera cette condition aux singularités de type A_n .

2.1 Condition suffisante

Définition 9. *Soit S une variété singulière, $U \subset S$ ouvert affine. Soient $p : X \rightarrow S$ une désingularisation de S et E_i un diviseur issu de la désingularisation de S tel que $p^{-1}(U) \cap E_i$ est non vide.*

Soit $f \in \mathcal{O}_U$. On définit l’ordre de f sur le diviseur E_i , noté $\text{ord}_{E_i}(f)$, comme suit : si $f^ = p^*(f) = \mu_i E_i + (f')$ (avec (f') n’ayant pas E_i comme composante) on note $\mu_i = \text{ord}_{E_i}(f)$.*

Lemme 3. *Soit S une variété singulière, $U \subset S$ ouvert affine. Soient $p : X \rightarrow S$ une désingularisation de S , E_i, E_j diviseurs issus de la désingularisation de S tels que $p^{-1}(U) \cap E_k$ est non vide.*

S’il existe $f \in \mathcal{O}_U$ telle que $\text{ord}_{E_i}(f) < \text{ord}_{E_j}(f)$, alors $\overline{N}_i(S) \not\subset \overline{N}_j(S)$.

Démonstration. Soit $f \in \mathcal{O}_U$ telle que $\text{ord}_{E_i}(f) < \text{ord}_{E_j}(f)$. Alors, si ϕ est un arc, $\text{ord}_t(\phi(f)) = Z(\phi).(f) = Z(\phi).(f^*)$ (cf. [REG]) (on désigne par $Z(\phi)'$ la transformée stricte de $Z(\phi)$ par p).

Donc, si on note $f^* = p^*(f) = \mu_i E_i + (f')$ comme précédemment, $\text{ord}_t(\phi(f)) = \mu_i E_i.Z(\phi)' + (f').Z(\phi)'$. Prenons $\phi = \phi_i \in N_i$ ne rencontrant pas (f') , alors $(f').Z(\phi)' = 0$ et $\mu_i E_i.Z(\phi)' = \mu_i$, donc finalement $\mathbf{ord}_t(\phi(\mathbf{f})) = \mu_i = \mathbf{ord}_{E_i}(\mathbf{f})$.

Par conséquent si $\text{ord}_{E_i}(f) < \text{ord}_{E_j}(f)$, pour tout $\phi_i \in N_i$ et $\phi_j \in N_j$ ne rencontrant pas (f')

$$\text{ord}_t(\phi_i(f)) < \text{ord}_t(\phi_j(f)) \quad (1)$$

Les coefficients de $\phi_k(f)$ sont des polynômes en les coefficients de ϕ_k . Donc l'inégalité (1) donne une inéquation sur les coefficients de ϕ_i que les coefficients de ϕ_j ne vérifient pas (le μ_i me coefficient est non nul). Alors $\overline{N_i} \not\subset \overline{N_j}$.

En effet si $\overline{N_i} \subset \overline{N_j}$, prenons $\phi_i \in N_i$, alors, pour tout ouvert voisinage V_k de ϕ_i $V_k \cap N_j \neq \emptyset$. Soit V_k défini par l'inéquation ci-dessus, c'est un voisinage de ϕ_i mais il n'intersecte pas N_j . $\Rightarrow \Leftarrow$. \square

2.2 Première application : instauration d'une relation binaire sur les diviseurs exceptionnels

Le critère précédent nous permet d'instaurer une relation binaire transitive sur l'ensemble des diviseurs exceptionnels de la désingularisation minimale d'une singularité de surface quelconque (qui sera un ordre partiel pour les singularités rationnelles). Cela se fait de la manière suivante :

soient E_i et E_j deux diviseurs exceptionnels. Alors :

- s'il existe f et g dans l'anneau local de la singularité telles que $\text{ord}_{E_i}(f) < \text{ord}_{E_j}(f)$ et $\text{ord}_{E_j}(g) < \text{ord}_{E_i}(g)$, on dira que E_i et E_j sont **incomparables** ;
- sinon pour tout f de l'anneau local on a $\text{ord}_{E_i}(f) \leq \text{ord}_{E_j}(f)$. Si les ordres sont égaux pour tout f , le critère suffisant ne donne aucune information. S'il existe un f telle que l'inégalité est stricte, alors on dira que $E_i < E_j$

Remarque : Dans le cas des singularités rationnelles, il est impossible d'avoir égalité des ordres $\text{ord}_{E_i}(f)$ et $\text{ord}_{E_j}(f)$ pour tout f . En effet, la matrice d'intersection est définie négative, donc non singulière. Donc il existe un cycle exceptionnel $\sum_i m_i E_i = B$ tel que $B.E_k \leq 0$ pour tout k et $m_i \neq m_j$. Par le théorème de Artin, il existe f telle que $\text{ord}_{E_i}(f) = m_i$ et $\text{ord}_{E_j}(f) = m_j$.

Cela nous permet d'identifier facilement (on est ramené à de l'algèbre linéaire) les familles de courbes pour lesquelles la conjecture est vérifiée (et donc aussi celles pour lesquelles la conjecture n'est pas encore vérifiée); en effet :

- si E_i et E_j sont incomparables alors $\overline{N}_i \not\subset \overline{N}_j$ et $\overline{N}_j \not\subset \overline{N}_i$;
- si $E_i < E_j$ alors $\overline{N}_i \subset \overline{N}_j$; mais on ne peut conclure pour la réciproque.
- si $E_i = E_j$, on ne peut conclure dans aucun sens.

On peut schématiser cet ordre partiel sur un graphe dont nous allons donner un premier exemple, la singularité E_6 donnée par l'équation $z^2 + y^3 + x^4 = 0$:

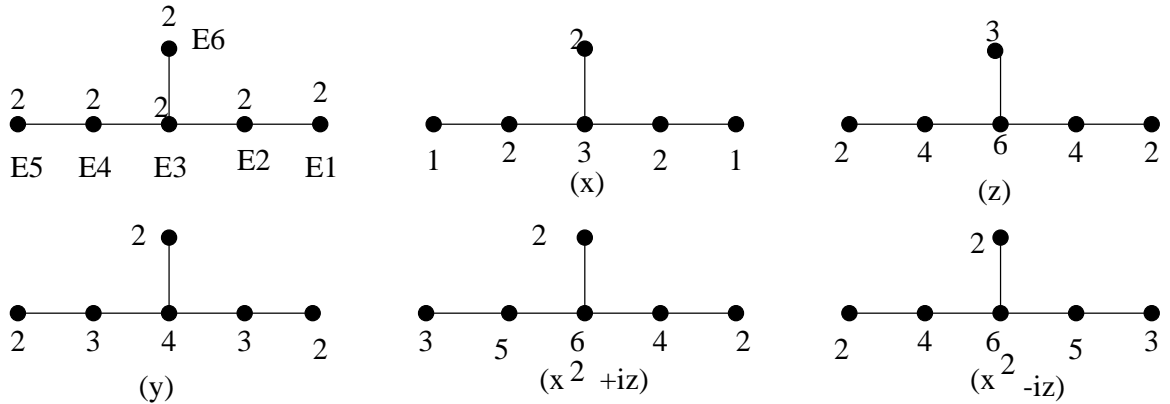


Fig. 3 – Graphe dual de E_6 et représentations des diviseurs $(x), (y), (Z), (x^2 + iz), (x^2 - iz)$

En appliquant la condition suffisante précédente, on obtient le schéma suivant représentant les ordres partiels entre les diviseurs :

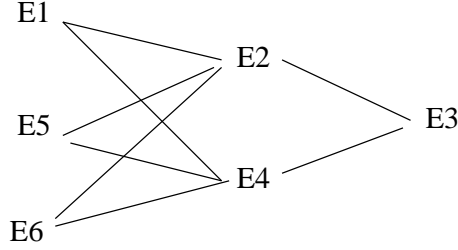


Fig. 4 – Schéma des ordres partiels

(Quand deux E_i sont reliés par un trait, avec E_i à droite et E_j à gauche, cela signifie que $E_i < E_j$, de plus “l’ordre partiel” est transitif de la droite vers la gauche ; quand ils ne sont pas reliés, cela veut dire qu’il n’y a pas de relation et donc que les familles associées sont non incluses l’une dans l’autre). Dans le cas de E_6 , on a donc les résultats suivants : $\overline{N}_1 \not\subset \overline{N}_i$ pour $i \neq 1$, $\overline{N}_5 \not\subset \overline{N}_i$ pour $i \neq 5$, $\overline{N}_6 \not\subset \overline{N}_i$ pour $i \neq 6$, $\overline{N}_2 \not\subset \overline{N}_j$ pour $j = 4, 3$, $\overline{N}_i \not\subset \overline{N}_j$ pour $j = 2, 3$, et il reste à prouver les autres non inclusions.

2.3 Deuxième application : le cas des A_n

A_n est la singularité d’équation $(z^{n+1} = xy)$. On note les E_k comme ci-dessous :



Soit $i < j$.

Soit $f = x$. Alors $ord_{E_i}(f) = i$ et $ord_{E_j}(f) = j$.

Donc, par la condition suffisante, $\overline{N}_i \not\subset \overline{N}_j$.

De même, si $g = y$, $ord_{E_i}(f) = n - i + 1$ et $ord_{E_j}(f) = n - j + 1$.

Donc $\overline{N}_j \not\subset \overline{N}_i$, toujours en appliquant la condition suffisante.

Et ce pour tout i, j .

La conjecture est prouvée pour les singularités quotients cycliques de type A_n

Remarque : Dans le cas des singularités de type A_n , il est facile de calculer les familles d'arcs directement et de démontrer qu'elles ne sont pas incluses les unes dans les autres. C'est d'ailleurs le premier exemple traité par Nash dans son preprint [NASH]. Nous souhaitons cependant rappeler ce résultat.

Considérons le plongement de A_n dans une variété non singulière de dimension 3, i.e. l'application surjective $k[[x, y, z]] \rightarrow \mathcal{O}_{A_n,0}$. Alors, les arcs sont décrits par des séries entières : $(x(t), y(t), z(t)) = (a_1t + \dots, b_1t + \dots, c_1t + \dots)$; de plus, on ne considère que les arcs tels que leur transformée stricte intersecte transversalement une des courbes exceptionnelles et n'intersecte pas les autres composantes exceptionnelles; or $z = 0$ est l'équation locale de chacune des composantes exceptionnelles dans son point générique (on le voit en éclatant "à la main" la singularité d'équation $(z^{n+1} = xy)$); cela implique que le premier coefficient de la troisième série c_1 est non nul sur chacune des variétés \overline{N}_i . De plus, $y = \frac{z^{n+1}}{x}$, ce qui implique que les familles de courbes sont :

$$\begin{aligned} N_1 &= (a_1t + a_2t^2 + \dots, b_nt^n + \dots, c_1t + \dots), \text{ avec } c_1^{n+1} = b_na_1, \dots \\ N_2 &= (a_2t^2 + \dots, b_{n-1}t^{n-1} + \dots, c_1t + \dots), \text{ avec } c_1^{n+1} = b_{n-1}a_2, \dots \\ &\vdots \\ N_n &= (a_nt^n + \dots, b_1t + b_2t^2 + \dots, c_1t + \dots), \text{ avec } c_1^{n+1} = b_1a_n, \dots \end{aligned}$$

Les adhérences de ces familles de courbes formelles (pour la topologie de Zariski) sont non incluses les unes dans les autres :

Supposons qu'il existe $i, j \in \mathbb{N}$ avec $i < j \leq n$ tels que $\overline{N}_i(A_n) \subset \overline{N}_j(A_n)$.

Soit $f \in N_i(A_n)$, $f = (a_it^i + \dots, b_{n-i+1}t^{n-i+1} + \dots, c_1t + \dots)$.

Alors, $f \in \overline{N}_j(A_n)$, i.e. tout ouvert voisinage de f dans l'espace des arcs intersecte $N_j(A_n)$.

Pour trouver une contradiction, il nous faut trouver un voisinage V_f de f tel qu'il n'intersecte pas $N_j(A_n)$. Soit $V_f = \{(x(t), y(t), z(t)) \in \mathcal{H}/a_i \neq 0\}$; c'est un voisinage de f ; pour tout $\phi \in V_f$, le i ème coefficient de la première série entière est non nul, alors que tous les éléments de $N_j(A_n)$ ont la i ème coordonnée nulle (ici $i < j$).

Donc V_f ne rencontre pas $N_j(A_n)$. $\Rightarrow \Leftarrow$

Donc pour tout i, j on a $\overline{N}_i(A_n) \not\subset \overline{N}_j(A_n)$, i.e. on a n familles d'arcs, dites de Nash

3 Deuxième condition suffisante et résolution pour les singularités minimales

3.1 Deuxième condition suffisante

Soient (X, x) et (X_0, x_0) deux surfaces algébriques avec une singularité rationnelles, $p : (X', \{E_i\}_{i \in \delta}) \rightarrow (X, x)$ et $p_o : (X'_0, \{E_i^0\}_{i \in \delta_1}) \rightarrow (X_0, x_0)$ les désingularisations minimales de (X, x) et (X_0, x_0) . Soit $\pi : (X, x) \rightarrow (X_0, x_0)$ un **morphisme dominant, birationnel** entre les deux surfaces.

L'application $\pi' : (X', \{E_i\}_{i \in \delta}) \rightarrow (X'_0, \{E_i^0\}_{i \in \delta_1})$ induite par π , est birationnelle et donc décomposable en une suite d'éclatements, par conséquent on peut associer à chaque $\{E_i^0\}$ une courbe exceptionnelle E_i , i.e. $\delta = \delta_1 \cup \delta_2$ et $E_i^0 = \pi(E_i)$ pour tout $i \in \delta_1$, les autres composantes exceptionnelles se contractant en les points $(a_{i,l}) \in E_i^0$ $i \in \delta_1$ et $l \in \delta_2$.

Le morphisme π induit sur l'espace des arcs un morphisme continu π_* . Alors on a la proposition suivante :

Proposition 4. *Si $\overline{N_i}((X_0, x_0)) \not\subset \overline{N_j}((X_0, x_0))$ alors $\overline{N_i}((X, x)) \not\subset \overline{N_j}((X, x))$ pour $i, j \in \delta_1$.*

Démonstration. On a besoin des deux lemmes suivants pour prouver la proposition :

Lemme 5. $\pi_* : N_i((X, x)) \rightarrow N_i((X_0, x_0))$ est elle-même dominante.

Démonstration. **Notation :** soient M_i l'ensemble des arcs transverses à E_i , M_i^0 l'ensemble des arcs transverses à E_i^0 dans X' et X'_0 ; $N_i(X, x) = p(M_i)$ et $N_i(X_0, x_0) = p_o(M_i^0)$ (p et p_o sont des isomorphismes hors de l'ensemble exceptionnel).

Nous allons montrer que $\pi_*(M_i)$ est dense dans M_i^0 , ce qui impliquera que $\overline{\pi_*(M_i)} = \overline{M_i^0}$ et que $\pi_*(N_i((X, x)))$ est dense dans $N_i((X_0, x_0))$.

On peut écrire explicitement $\pi_*(M_i)$:

$$\pi_*(M_i) = \{\phi \text{ arcs}/\phi \text{ transverse a } E_i^0 \text{ et } \phi(0) \neq a_{i,l} \text{ pour tout } l\}. \quad (2)$$

Il nous reste maintenant à démontrer le lemme suivant :

Lemme 6. *Soient L une surface lisse, E une courbe rationnelle sur L et $E^\# = E \setminus F$ où $F = \{a_l\}$ un ensemble fini de points de E .*

Soient $N = \{\phi \text{ arcs}/\phi \text{ transverse a } E\}$ et $M = \{\phi \text{ arcs}/\phi \text{ transverse a } E^\#\}$.

Alors M est dense dans N .

Démonstration. On a $M \subset N$ car $M = \{\phi \in N / \phi(0) \notin F\}$.

Donc M est un ouvert de Zariski de N , non vide.

D'où M est dense dans N . □

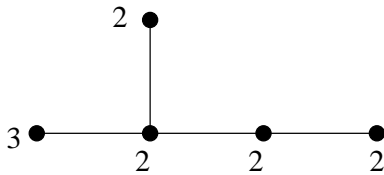
Par le lemme précédent on sait que $\pi_*(M_i)$ est dense dans M_i^0 , ce qui implique que $\pi_*(N_i((X, x)))$ est dense dans $N_i((X_0, x_0))$. □

Par le lemme 3.1 on sait que $\pi_*(N_i((X, x)))$ est dense dans $N_i((X_0, x_0))$. Donc il existe $f \in \pi_*(N_i((X, x)))$ telle qu'il existe un voisinage V_f de f qui n'intersecte pas $N_j((X_0, x_0))$ (car $\overline{N_i}((X_0, x_0)) \not\subset \overline{N_j}((X_0, x_0))$). Alors si on pose $g = \pi_*^{-1}(f) \in N_i((X, x))$, et $V_g = \pi_*^{-1}(V_f)$ un voisinage ouvert de g (π_* est continue), V_g n'intersecte pas $N_j((X, x))$, ce qui équivaut à dire que $\overline{N_i}((X, x)) \not\subset \overline{N_j}((X, x))$. □

Exemple d'application : nous donnerons dans la section suivante un exemple d'application simple (car les singularités minimales et les singularités de type A_n vérifient les hypothèses de la proposition), mais nous souhaitons ici donner un autre exemple :

Corollaire 7. *Supposons que la conjecture est vérifiée pour les points doubles rationnels de type D_n , $n \geq 4$; alors si (S, s) est un singularité dont le graphe dual de la désingularisation minimale a la même configuration que celui d'un D_n (mais pas les mêmes poids), alors la conjecture est aussi vraie pour (S, s) .*

Remarque : une esquisse de la preuve pour D_5 est proposée dans [REG] ; on peut donc appliquer le corollaire et prouver la conjecture, par exemple, pour la singularité dont le graphe est le suivant :



et qui nous promettait de longs calculs pour prouver la conjecture “à la main”.

3.2 Résolution pour les singularités minimales de surface

Soient (S, s) une singularité minimale, G le graphe dual de sa désingularisation minimale, n le nombre de sommets de ce graphe. Nous savons déjà que le nombre de composantes irréductibles de famille des courbes formelles passant par (S, s) est majorée par n (cf. [REG] ou [LEJ], appendice III), et nous voulons prouver qu’il y a égalité.

Soient x, y deux sommets de G , N_x, N_y les familles de courbes associées à x et y respectivement (selon les notations d’Ana Reguera). On veut montrer que les adhérences de ces deux familles ne sont pas incluses l’une dans l’autre. La stratégie consiste à montrer que l’on peut décomposer en joint birationnel la singularité en singularités de type A_n de telle façon que x et y appartiennent au même A_m , puis à se servir du fait que $\overline{N_x}(A_m) \not\subset \overline{N_y}(A_m)$ (et inversement) implique que $\overline{N_x}((S, s)) \not\subset \overline{N_y}((S, s))$ (et inversement) en utilisant la proposition-condition précédente.

Notation :

- soient z_1, z_2, \dots, z_k les extrémités de G ;
- G_i désignera le graphe d’une singularité A_i .

Par les propriétés du graphe, on peut joindre de façon unique les deux sommets x et y , par un sous-graphe “en bambou” et prolonger celui-ci de telle façon que :

1. on obtient un nouveau sous-graphe G' “en bambou” avec m sommets ;
2. les extrémités de G' sont par exemple z_1 et z_2 (i.e. des extrémités de G lui-même, quitte à réénumérer celles-là) .

Alors le choix de ce sous graphe détermine la décomposition en joint birationnel de G en graphes G_i , en effet : fixons z_1 une extrémité ; si $w(z_1) > \gamma(z_1) + 1$, on attache $w(z_1) - \gamma(z_1) - 1$ sommets de poids 1 à z_1 , sinon on ne le touche pas. A chacun des autres sommets z , on attache $r(z) = w(z) - \gamma(z)$ sommets de poids 1 (ici $w(z)$ désigne moins le nombre d’autointersection de la courbe exceptionnelle du graphe de la résolution minimale de (S, s) associée au sommet z du graphe dual, et $\gamma(z)$ désigne le nombre d’arêtes partant de z dans le graphe dual).

On a alors plongé G dans un graphe non singulier et ce plongement donne la décomposition de G en G_i : chaque A_i correspond à un sous-graphe d'extrémités z_1 et un sommet de poids 1 ; il y a autant de A_i que de sommets de poids 1, et en particulier **un de ces sous graphes correspondant à un A_m contient x et y .**

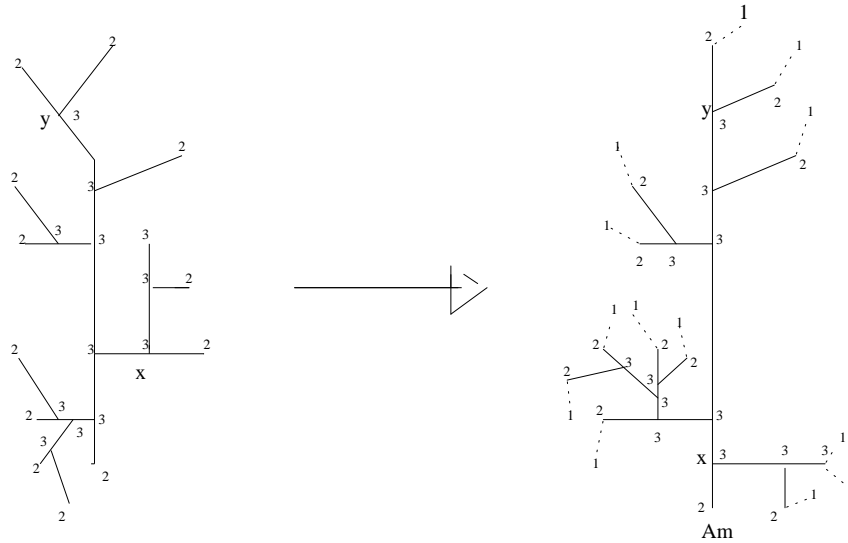


Fig. 5 – exemple de décomposition d'un graphe G de singularité minimale en graphes de A_i

Cette décomposition de G en G_i correspond au joint birationnel des A_i formant (S, s) . On a donc $\pi : (S, s) \rightarrow A_m$ projection qui va de la singularité minimale à la singularité A_m "contenant" x et y ; elle est propre, dominante et birationnelle. On peut donc appliquer la proposition précédente car les singularités de type A_n vérifient la conjecture.

On a ainsi : $\overline{N_x}((S, s)) \not\subset \overline{N_y}((S, s))$ et ce, pour tous les x, y sommets du graphe dual de résolution de la singularité minimale (S, s)

La conjecture est donc résolue pour ces singularités.

Références

[ART] Mickael Artin, *On isolated rational singularities of surfaces*. Amer.J.Math. 88 (1966), 129–136.

- [LEJ] **Monique Lejeune–Jalabert**, *Courbes tracées sur un germe d'hypersurface*. Amer.J.Math. **112** (1990), 525–568.
- [NASH] **John F. Nash, Jr.**, *Arc structure of singularities*. A celebration of John F. Nash, Jr. Duke Math. J. **81, 1** (1995), 31–38 (1996).
- [REG] **Ana Reguera**, *Families of arcs on rational surface singularities*. Manuscripta Math **88, 3** (1995), 321–333
- [SPI 1] **Mark Spivakovsky**, *Sandwiched singularities and desingularization of surfaces by normalized Nash transformations*. Annals of Math.,**131** (1990), 411–491.
- [SPI 2] **Mark Spivakovsky**, *Valuation in function fields of surfaces*. Amer.J.Math.**112** (1990), 107–156.